

01;03

## Анализ эффективности фокусировки импульсных волн давления в зависимости от начального распределения амплитуды и временного профиля

© Э.В. Иванов<sup>1</sup>, Ю.В. Судьенков<sup>2</sup>

<sup>1</sup>Санкт-Петербургский государственный институт точной механики и оптики (Технический университет), 197101 Санкт-Петербург, Россия

<sup>2</sup>Санкт-Петербургский государственный университет, 198904 Санкт-Петербург, Россия

(Поступило в Редакцию 22 сентября 1997 г.)

Приведены решения параболического уравнения дифракции для процессов фокусировки импульсов давления, имеющих монополярный или дипольный начальный профиль с колоколообразным или кольцевым распределением амплитуды. Проведен анализ полученных результатов и определены условия, обеспечивающие повышение эффективности фокусировки при переходе от колоколообразного распределения начальной амплитуды к кольцевому, а также при замене монополярного импульса дипольным.

Изучение процессов фокусировки импульсных упругих волн в жидкости, как правило, ограничивается случаем импульса, имеющего монополярный начальный профиль с равномерным или колоколообразным радиальным распределением амплитуды. Это обусловлено ограничениями как теоретического, так и экспериментального плана, которые возникают при исследовании более сложных ситуаций. В наших экспериментах [1,2] была показана возможность значительного повышения эффективности фокусировки за счет использования импульсных пучков с кольцевым начальным распределением амплитуды, а в работе [3] аналогичные явления были обнаружены при изучении фокусировки импульсов, имеющих дипольный начальный профиль.

Теоретический анализ процессов фокусировки импульсных волн давления с различными пространственными и временными характеристиками достаточно сложен, в особенности при учете диссипативных и нелинейных эффектов, и может быть осуществлен лишь численно. Тем не менее в линейном параболическом приближении для некоторых частных случаев можно получить точные аналитические результаты, которые указывают пути повышения эффективности фокусировки за счет оптимизации начального временного профиля импульса и радиального распределения его амплитуды.

### Постановка задачи

Ограничимся рассмотрением осесимметричных импульсных пучков, пренебрегая нелинейными и диссипативными явлениями и полагая

$$k_r/k_z \ll 1, \quad (1)$$

где  $k_z$  и  $k_r$  — соответственно аксиальная и радиальная компоненты волнового вектора.

В этом случае для описания процесса фокусировки применимо параболическое уравнение дифракции [4]

$$(\partial^2 p / \partial r^2 + r^{-1} \partial p / \partial r) c_0 / 2 = \partial^2 p / \partial z \partial \tau \quad (2)$$

с граничным условием

$$p(z = 0, r, \tau) = p_0 f(r) \varphi(\tau + r^2 / 2Rc_0), \quad (3)$$

где  $p$  — приращение давления;  $z$  и  $r$  — соответственно аксиальная и радиальная координаты;  $\tau = t - z/c_0$  — приведенное время,  $c_0$  — скорость звука;  $f(r)$  и  $\varphi(\tau)$  — функции радиального распределения амплитуды и временного профиля импульса, нормированные на максимум;  $R$  — радиус кривизны исходного сферического фронта,  $p_0$  — максимальное значение начальной амплитуды импульса.

### Решения

1. Рассмотрим фокусировку импульса давления, имеющего монополярный начальный профиль с колоколообразным распределением амплитуды,

$$p_0 = p_0^{(1)}, \quad f(r) = \exp(-r^2/r_0^2), \\ \varphi(\tau) = \exp(-\tau^2/\tau_0^2). \quad (4)$$

Используя метод преобразования Фурье [4], находим решение уравнения (2)

$$p(z, r, \tau) = p_0 (2\pi)^{-1} \\ \times \int_{-\infty}^{+\infty} s(\omega) D(z, r, \omega) \exp(-i\omega\tau) d\omega, \quad (5)$$

где  $s(\omega) = \int_{-\infty}^{+\infty} \varphi(\tau) \exp(i\omega\tau) d\tau$ ,  $D = (1 - z/R + iz/d)^{-1} \times \exp[-(1 - z/R + iz/d)^{-1} (1 + id/R)r^2/r_0^2]$ ,

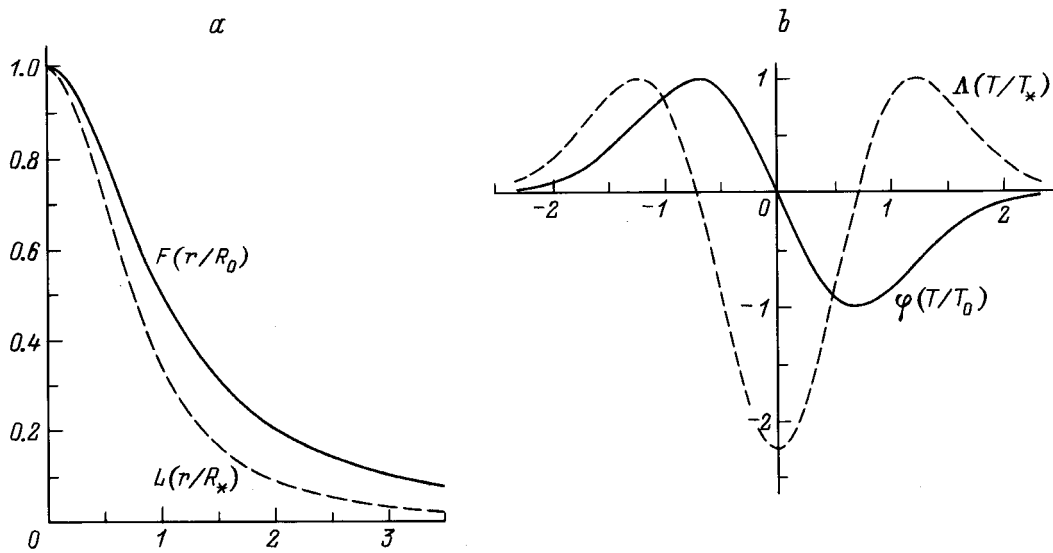


Рис. 1. Радиальное распределение амплитуды импульса давления (а) и его временной профиль (б) в плоскости  $z = R$ .

$d = \omega r_0^2 / 2c_0$  — дифракционная длина, т.е. поле давления в импульсном пучке представляется суммой бесконечного числа сходящихся монохроматических гауссовых пучков с непрерывно изменяющейся частотой.

Фокус монохроматического гауссова пучка всегда смещен относительно плоскости  $z = R$  в направлении к источнику [4]. Соответственно фокус импульсного пучка, описываемого выражением (5), также должен быть расположен в плоскости  $z = z_f < R$ . Для гауссова пучка с частотой  $\omega$  сдвиг фокуса будет тем незначительнее, а эффективность фокусировки тем выше, чем лучше выполнено условие [4]

$$\omega r_0^2 / 2Rc_0 \gg 1. \tag{6}$$

Следовательно, чем большая доля энергии импульса приходится на гармоники, частоты которых удовлетворяют условию (6), тем меньше различаются параметры поля давления в плоскостях  $z = z_f$  и  $z = R$  и острее фокусируется импульсный пучок. Поскольку наибольший интерес как раз представляет случай эффективной фокусировки, то будем считать, что  $(R - z_f) / R \ll 1$ , т.е. реальный фокус импульсного пучка практически совпадает с его геометрическим фокусом. Вычислим поле давления в плоскости  $r = R$

$$p(z = R, r, \tau) = p_f^{(1)} F(r/R_0) \phi(T/T_0), \tag{7}$$

где  $F(r/R_0) = (1 + r^2/R_0^2)^{-1}$  и  $\phi(T/T_0) = -(2e)^{1/2} \times (T/T_0) \exp(-T^2/T_0^2)$  — функции радиального распределения амплитуды и временного профиля импульса, нормированные на максимум (рис. 1);  $T = \tau - r^2/2Rc_0$ ;  $T_0 = \tau_0(1 + r^2/R_0^2)^{1/2}$  — характерная длительность импульса;  $R_0 = Rc_0\tau_0/r_0$  — радиус фокальной перетяжки по полувысоте;  $p_f^{(1)} = p_0^{(1)}G^{(1)}$  — максимальное значение амплитуды фазы сжатия импульса давления,

$G^{(1)} = t_0^2 \sqrt{2e} Rc_0 \tau_0$  — коэффициент усиления для фазы сжатия.

2. Импульс с кольцевым распределением начальной амплитуды и монополярным начальным профилем зададим следующим образом:

$$p_0 = p_0^{(2)}, \quad f(r) = K [\exp(-r^2/r_2^2) - \exp(-r^2/r_1^2)],$$

$$\varphi(\tau) = \exp(-\tau^2/\tau_0^2), \tag{8}$$

где  $K = (1 - x^{-2})^{-1} \exp[2(x^2 - 1)^{-1} \ln x]$  — нормировочный коэффициент, причем  $x = r_2/r_1 > 1$ .

Используя линейность задачи, находим соответствующее решение в плоскости  $z = R$

$$p(z = R, r, \tau) = p_f^{(2)} [F(r/R_2) \phi(T/T_2) - x^{-2} F(r/R_1) \phi(T/T_1)] / (1 - x^{-2}), \tag{9}$$

где  $R_{1,2} = Rc_0\tau_0/r_{1,2}$ ,  $T_{1,2} = \tau_0(1 + r^2/R_{1,2}^2)^{1/2}$ ,  $p_f^{(2)} = p_0^{(2)}G^{(2)}$ ,  $G^{(2)} = r_2^2 \exp[2(x^2 - 1)^{-1} \ln x] / (2e)^{1/2} \times Rc_0\tau_0$ .

3. Рассмотрим случай импульса, имеющего дипольный начальный профиль с колоколообразным распределением амплитуды,

$$p_0 = p_0^{(3)}, \quad f(r) = \exp(-r^2/r_0^2),$$

$$\varphi(\tau) = -(2e)^{1/2} (\tau/\tau_*) \exp(-\tau^2/\tau_*^2). \tag{10}$$

Аналогично выражению (7) запишем

$$p(z = R, r, \tau) = p_f^{(3)} L(r/R_*) \Lambda(T/T_*), \tag{11}$$

где  $L(r/R_*) = (1 + r^2/R_*^2)^{-3/2}$  и  $\Lambda(T/T_*) = (e^{3/2}/2) \times (2T^2/T_*^2 - 1) \exp(-T^2/T_*^2)$  — нормированные на свое

максимальное значение функции радиального распределения амплитуды и временного профиля импульса (рис. 1);  $R_* = Rc_0\tau_*/r_0$  и  $T_* = \tau_* (1 + r^2/R_*^2)^{1/2}$  — характерный радиус фокальной перетяжки и длительность импульса;  $p_f^{(3)} = p_0^{(3)}G^{(3)}$ ,  $G^{(3)} = r_0^2 2^{1/2} / eRc_0\tau_*$ .

В отличие от функции  $\phi(T/T_0)$  значения максимума и минимума для функции  $\Lambda(T/T_*)$  не совпадают по модулю (рис. 1, b):  $|\Lambda(0)| = e^{3/2}/2 \cong 2.24$ . Поэтому определим также максимальное значение амплитуды фазы разрежения в фокальной плоскости и соответствующий коэффициент усиления

$$P_f^{(3)} = p_f^{(3)}|\Lambda(0)| = p_0^{(3)}r_0^2(e/2)^{1/2}/Rc_0\tau_*,$$

$$g^{(3)} = P_f^{(3)}/p_0^{(3)}. \tag{12}$$

Таким образом, получены точные аналитические решения линейного параболического волнового уравнения, которые могут быть использованы для тестирования различных численных алгоритмов, а также позволяют определить методы повышения эффективности фокусировки импульсов давления за счет оптимизации их пространственных и временных характеристик.

### Обсуждение результатов

1. Сопоставим результаты фокусировки импульсов с колоколообразным и кольцевым распределением начальной амплитуды. Отношение соответствующих коэффициентов усиления дает

$$\ln(G^{(2)}/G^{(1)}) = 2(\rho_2^2 \ln \rho_2 - \rho_1^2 \ln \rho_1) / (\rho_2^2 - \rho_1^2), \tag{13}$$

где  $\rho_{1,2} = r_{1,2}/r_0$ , причем  $\rho_1 < \rho_2$ .

Анализ выражения (13) показывает, что возможны три различные ситуации: при  $\rho_2 \geq 1$   $G^{(2)}/G^{(1)} > 1$ , при  $\rho_2 \leq e^{-1/2}$   $G^{(2)}/G^{(1)} < 1$ , при  $e^{-1/2} < \rho_2 < 1$  отношение  $G^{(2)}/G^{(1)}$  может быть как больше, так и меньше единицы в зависимости от значения  $\rho_1$ . Например, для случая  $\rho_1 = 1$  и  $\rho_2 = 2$  соотношение (13) предсказывает значительный рост коэффициента усиления при замене колоколообразного начального распределения амплитуды кольцевым:  $G^{(2)}/G^{(1)} = 2^{8/3} \cong 6.35$ . Запишем выражения для  $G^{(1)}$  и  $G^{(2)}$ , используя понятие эффективного угла сходимости  $\beta$  [5]. Для случая осесимметричных слабосходящихся пучков параметр  $\beta$  определяется выражением

$$\beta^2 \cong 2 \int_0^\alpha f(\theta)\theta d\theta, \tag{14}$$

где  $\theta = r/R$  — угол, отсчитываемый от акустической оси;  $\alpha$  — геометрический угол сходимости.

Предполагается, что угол  $\alpha$  достаточно мал ( $\alpha \leq 16^\circ$ ), чтобы обеспечить справедливость параболического приближения [6,7], но в то же время велик по сравнению с характерными углами раскрытия волнового фронта  $\theta_0$  и  $\theta_2$ , где  $\theta_{0,2} = r_{0,2}/R$ .

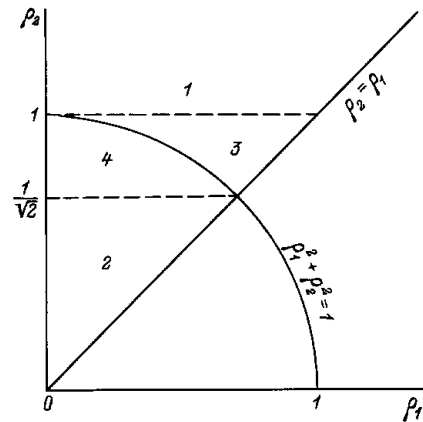


Рис. 2. Диаграмма фокальных давлений для импульса с кольцевым распределением начальной амплитуды.

С учетом (14) коэффициенты усиления  $G^{(1)}$  и  $G^{(2)}$  могут быть представлены в виде

$$G^{(1,2)} = R(\beta^{(1,2)})^2 / (2e)^{1/2} c_0 \tau_0. \tag{15}$$

Таким образом, возможные изменения коэффициента усиления при переходе от колоколообразного распределения начальной амплитуды к кольцевому определяются исключительно величиной эффективного угла сходимости.

При сравнении фокальных давлений будем исходить из условия постоянства акустической энергии на поверхности начального сферического фронта [4,5]

$$p_0^2 \int_0^\alpha f^2(\theta)\theta d\theta = \text{const}, \tag{16}$$

где учтена аксиальная симметрия задачи и малость  $\theta$ .

Отсюда находим, что фокальные давления для случаев колоколообразного и кольцевого распределения начальной амплитуды связаны простым соотношением

$$p_f^{(2)}/p_f^{(1)} = (\rho_2^2 + \rho_1^2)^{1/2}, \tag{17}$$

которое описывает в плоскости  $(\rho_1, \rho_2)$  при  $\rho_1 < \rho_2$  дугу окружности с центром в начале координат и радиусом  $p_f^{(2)}/p_f^{(1)}$ . Очевидно, как и для отношения  $G^{(2)}/G^{(1)}$ , возможны три различных ситуации (рис. 2): при  $\rho_2 \geq 1$   $p_f^{(2)}/p_f^{(1)} > 1$  (зона 1), при  $\rho_2 \leq 2^{-1/2}$   $p_f^{(2)}/p_f^{(1)} < 1$  (зона 2), при  $2^{-1/2} < \rho_2 < 1$  отношение  $p_f^{(2)}/p_f^{(1)}$  может быть как больше, так и меньше единицы в зависимости от величины  $\rho_1$  (зона 3 или 4 соответственно). В частности, подстановка  $\rho_1 = 1$  и  $\rho_2 = 2$  в выражение (17) дает  $p_f^{(2)}/p_f^{(1)} = 5^{1/2} \cong 2.24$ . Отметим, что прирост фокального давления, наблюдаемый при переходе от колоколообразного начального распределения амплитуды к кольцевому, заметно ниже, чем соответствующий прирост коэффициента усиления ( $G^{(2)}/G^{(1)} \cong 6.35$ ). Это

объясняется существенным снижением величины начального давления  $p_0$  в соответствии с условием постоянства акустической энергии (16). Таким образом, полученные результаты позволяют проводить оценки эффективности фокусировки импульсов давления в зависимости от геометрических параметров радиального распределения их начальной амплитуды.

2. Сопоставим результаты фокусировки импульсов с монополярным и дипольным начальным профилем. В этом случае для коэффициентов усиления по фазе сжатия и разрежения получаем следующие соотношения:

$$G^{(3)}/G^{(1)} = 2e^{-1/2}\vartheta \cong 1.21\vartheta, \\ g^{(3)}/G^{(1)} = e\vartheta \cong 2.72\vartheta, \quad (18)$$

где  $\vartheta = \tau_0/\tau_*$ .

Снова воспользовавшись условием постоянства акустической энергии [4,5]

$$p_0^2 \int_{-\infty}^{+\infty} \varphi^2(t) dt = \text{const}, \quad (19)$$

находим также и отношение давлений в фокусе

$$p_f^{(3)}/p_f^{(1)} = 8^{1/2}\vartheta^{3/2}/e \cong 1.04\vartheta^{3/2}, \\ p_f^{(3)}/p_f^{(1)} = (2e)^{1/2}\vartheta^{3/2} \cong 2.33\vartheta^{3/2}. \quad (20)$$

Таким образом, при замене монополярного импульса давления дипольным возможно значительное увеличение коэффициентов усиления и фокальных давлений, в особенности для фазы разрежения. Из рис. 1, а, видно, что при этом будет также происходить сокращение диаметра фокальной перетяжки. Как показывает анализ функций спектральной плотности  $s(\omega)$  для случая монополярного и дипольного импульса, наблюдаемый эффект связан с перекачкой акустической энергии из области низких частот ( $\omega \ll 1/\tau_0$ ) в область высоких частот ( $\omega \sim 1/\tau_*$ ).

Таким образом, найдены точные аналитические решения параболического уравнения дифракции для случая фокусировки импульса, имеющего монополярный или дипольный начальный профиль с колоколообразным или кольцевым распределением амплитуды.

Полученные результаты показывают, что начальный временной профиль импульса давления и радиальное распределение его амплитуды оказывают существенное влияние на процесс фокусировки. В частности, за счет перехода от колоколообразного распределения начальной амплитуды к кольцевому, а также при замене монополярного импульса дипольным возможно значительное повышение эффективности фокусировки. Очевидно, наибольший положительный эффект может быть достигнут при одновременной оптимизации как временных, так и пространственных характеристик импульса.

Представленный анализ, проделанный в рамках линейного параболического приближения, не учитывает влияния нелинейных и диссипативных эффектов и, кроме того, справедлив лишь для слабосходящихся пучков. Несмотря на эти ограничения, полученные результаты качественно согласуются с данными соответствующих экспериментов для импульсов субмикросекундной длительности в широком диапазоне начальных давлений и углов сходимости [1,2,3] и, следовательно, могут быть использованы для оценок эффективности фокусировки.

## Список литературы

- [1] Судьенков Ю.В., Иванов Э.В. // Письма в ЖТФ. 1996. Т. 22. Вып. 22. С. 27–30.
- [2] Sud'enkov Yu.V., Ivanov E.V. // Proc. SPIE. Biomedical Systems & Technologies. 1996. Vol. 2928. P. 262–270.
- [3] Комиссарова И.И., Островская Г.В. и др. // ЖТФ. 1994. Т. 64. Вып. 7. С. 115–121.
- [4] Виноградова М.Б., Руденко О.В., Сухоруков А.П. Теория волн. М.: Наука. 1990. 432 с.
- [5] Каневский И.Н. Фокусирование звуковых и ультразвуковых волн. М.: Наука. 1977. 336 с.
- [6] Tjotta J.N., Tjotta S., Vefring E.H. // J. Acoust. Soc. Am. 1991. Vol. 89. P. 1017–1127.
- [7] Hamilton M.F. // J. Acoust. Soc. Am. 1992. Vol. 92. P. 527–532.